

О ВОЛНАХ КОНЕЧНОЙ АМПЛИТУДЫ В ГОРЯЧЕЙ ПЛАЗМЕ

Ю. А. Березин

(Новосибирск)

Изучена структура плоской ударной волны произвольной силы, распространяющейся в горячей разреженной плазме поперек магнитного поля. Рассмотрен также вопрос о распространении при указанных условиях нестационарных волн конечной, но малой амплитуды.

Волны конечной амплитуды в холодной разреженной плазме изучены достаточно полно. Профиль таких волн формируется под влиянием нелинейных и дисперсионных эффектов, причем последние обуславливаются инерцией электронов и анизотропией плазмы. Если учесть газокINETическое давление плазмы, то появляются дисперсионные эффекты, связанные с тем, что ларморовский радиус ионов имеет конечную величину. Рассмотрение стационарных волн малой, но конечной амплитуды, распространяющихся поперек магнитного поля в горячей плазме (когда газокINETическое давление  $p$  сравнимо с магнитным давлением  $H^2/8\pi$ ), проведено в работах [1,2]. В [1] найдена уединенная волна разрежения, получающаяся в горячей плазме вместо волны сжатия, характерной для холодной плазмы, а также приведены качественные соображения относительно структуры ударной волны. В [2] изучается ударная волна слабой амплитуды с учетом конечной величины ларморовского радиуса ионов. В настоящей работе исследуется структура ударных волн произвольной силы, которые распространяются поперек магнитного поля в достаточно горячей разреженной плазме, а также рассматриваются нестационарные волны конечной, но малой амплитуды, которые возбуждаются в плазме «магнитным поршнем», действовавшим в течение ограниченного промежутка времени.

Обозначения

$p$ — газокINETическое давление;	$\Omega_n$ — ионная циклотронная частота;
$H$ — магнитное поле;	$V_A$ — альфвеновская скорость;
$u, v$ — макроскопические скорости по осям $x$ и $y$ ;	$c$ — скорость света;
$\rho$ — плотность;	$\gamma$ — показатель адиабаты;
$m_e (m_i)$ — масса электрона (иона);	$V$ — удельный объем;
$\sigma$ — проводимость плазмы;	$\omega_{oe} (\omega_{oi})$ — электронная (ионная) плазменная частота;
	$s_0$ — скорость звука.

1. Основные уравнения. Исходная система уравнений состоит из уравнений движения электронной и ионной компонент плазмы, уравнений непрерывности и уравнений Максвелла. Плазма предполагается квазинейтральной. В уравнения движения введем газокINETическое давление, которое будет иметь тензорный характер, связанный с тем, что распределение ионов не обладает сферической симметрией. Будем считать движение одномерным, т. е. все величины зависят только от координаты  $x$  и времени  $t$ . Магнитное поле направлено по оси  $z$ . Запишем основную систему уравнений в виде законов сохранения массы, импульса (по осям  $x$  и  $y$ ), энергии и магнитного потока

$$\frac{\partial \rho}{\partial t} + \frac{\partial}{\partial x}(\rho u) = 0 \quad (\rho = \rho_i + \rho_e)$$

$$\frac{\partial}{\partial t}(\rho u) + \frac{\partial}{\partial x} \left\{ p + \frac{H^2}{8\pi} + \rho u^2 - \frac{P_i}{2\Omega_n} \frac{\partial v}{\partial x} + \frac{cm_e P_i}{8\pi e \Omega_n} \frac{\partial}{\partial x} \left( \frac{1}{\rho} \frac{\partial H}{\partial x} \right) \right\} = 0$$

$$\frac{\partial}{\partial t}(\rho v) + \frac{\partial}{\partial x} \left( \rho u v + \frac{P_i}{2\Omega_n} \frac{\partial u}{\partial x} \right) = 0$$

$$\begin{aligned}
& \frac{\partial}{\partial t} \left\{ \frac{p}{\gamma-1} + \frac{H^2}{8\pi} + \frac{1}{2} \rho (u^2 + v^2) + \frac{1}{2} \frac{m_i m_e c^2}{(4\pi e)^2 \rho_i} \left( \frac{\partial H}{\partial x} \right)^2 \right\} + \\
& + \frac{\partial}{\partial x} \left\{ u \left[ \frac{\gamma p}{\gamma-1} + \frac{1}{2} \rho (u^2 + v^2) + \frac{1}{2} \frac{m_i m_e c^2}{(4\pi e)^2 \rho_i} \left( \frac{\partial H}{\partial x} \right)^2 + \right. \right. \\
& + \frac{H^2}{4\pi} - \frac{p_i}{2\Omega_n} \frac{\partial}{\partial x} \left( v - \frac{cm_e}{4\pi e \rho} \frac{\partial H}{\partial x} \right) \left. \right] + \frac{p_i}{2\Omega_n} \left( v - \frac{cm_e}{4\pi e \rho} \frac{\partial H}{\partial x} \right) \frac{\partial u}{\partial x} - \\
& - \frac{m_i m_e c^2}{(4\pi e)^2} H \left( \frac{\partial}{\partial t} + u \frac{\partial}{\partial x} \right) \left( \frac{1}{\rho} \frac{\partial H}{\partial x} \right) - \frac{c^2}{16\pi^2 \sigma} H \frac{\partial H}{\partial x} \left. \right\} = 0 \\
& \frac{\partial H}{\partial t} + \frac{\partial}{\partial x} (uH) - \frac{m_i m_e c^2}{4\pi e^2} \frac{\partial}{\partial x} \left( \frac{\partial}{\partial t} + u \frac{\partial}{\partial x} \right) \left( \frac{1}{\rho} \frac{\partial H}{\partial x} \right) = \frac{c^2}{4\pi \sigma} \frac{\partial^2 H}{\partial x^2}
\end{aligned} \tag{1.1}$$

$$v = \frac{1}{\rho} (\rho_i v_i + \rho_e v_e), \quad p = p_i + p_e, \quad \Omega_n = \frac{eH}{m_i c}$$

Здесь  $\rho$  — плотность плазмы,  $u$  —  $x$ -компонента макроскопической скорости,  $v$  —  $y$ -компонента скорости,  $p$  — давление,  $\sigma$  — проводимость плазмы, которую будем считать постоянной.

Если проводимость плазмы велика, то уравнения состояния электронного и ионного газов будут мало отличаться от адиабатических с эффективным показателем адиабаты  $\gamma = 2$  (поскольку рассматриваются движения поперек магнитного поля). Поэтому с достаточной степенью точности можно положить  $p_i = \alpha p$ , где  $\alpha = \text{const}$  — отношение давления ионного газа к полному давлению плазмы.

Для нахождения закона дисперсии волн, как обычно, линеаризуем систему уравнений (1.1) и будем искать решение в виде плоских волн, в результате чего получаем

$$\begin{aligned}
& \left( \frac{\omega}{k} \right)^2 = s_0^2 + V_A^2 \left\{ \frac{1}{1 + c^2 k^2 / \omega_{0e}^2} + \left( \frac{c}{\omega_{0i}} \right)^2 \left( \frac{2\pi \alpha p_0}{H_0^2} \right)^2 k^2 \right\} \\
& s_0 = \sqrt{2p_0 / \rho_0}, \quad V_A = \frac{H_0}{\sqrt{4\pi p_0}}, \quad \omega_{0e} = \sqrt{4\pi \rho_0 e^2 / m_i m_e} \\
& \omega_{0i} = \sqrt{4\pi \rho_0 e^2 / m_i^2}
\end{aligned} \tag{1.2}$$

где  $p_0$  и  $\rho_0$  — невозмущенные давление и плотность плазмы соответственно,  $s_0$  — скорость звука.

Если газокINETическое давление ионов достаточно мало по сравнению с магнитным, то в выражении (1.2) в фигурных скобках преобладает первый член, обуславливающий отрицательную дисперсию (фазовая скорость малых возмущений убывает с уменьшением длины волны); в этом случае, как известно, характерный линейный размер стационарных волн сжатия порядка  $c / \omega_{0e}$ . Если же газокINETическое давление ионов достаточно велико (горячая плазма), то имеет место положительная дисперсия (фазовая скорость малых колебаний возрастает с уменьшением длины волны); в этом случае, как видно из выражения (2.2), характерный размер стационарных волн разрежения порядка

$$\frac{c}{\omega_{0i}} \frac{2\pi \alpha p_0}{H_0^2} \gg \frac{c}{\omega_{0e}}$$

Таким образом, в горячей плазме дисперсионные эффекты в основном обусловлены конечной величиной ларморовского радиуса, а не инерцией электронов.

Приведем систему уравнений (1.1) к безразмерному виду

$$\begin{aligned} \frac{\partial}{\partial \tau} \frac{1}{V} + \frac{\partial}{\partial \xi} \frac{u}{V} &= 0 \quad (1.3) \\ \frac{\partial}{\partial \tau} \frac{u}{V} + \frac{\partial}{\partial \xi} \left\{ p + \frac{1}{2} h^2 + \frac{u^2}{V} - \frac{\alpha p}{2h} \frac{\partial}{\partial \xi} \left( v - \beta^2 V \frac{\partial h}{\partial \xi} \right) \right\} &= 0 \\ \frac{\partial}{\partial \tau} \frac{v}{V} + \frac{\partial}{\partial \xi} \left( \frac{uv}{V} + \frac{\alpha p}{2h} \frac{\partial u}{\partial \xi} \right) &= 0 \\ \frac{\partial}{\partial \tau} \left\{ p + \frac{1}{2} h^2 + \frac{u^2 + v^2}{2V} + \frac{1}{2} \beta^2 V \left( \frac{\partial h}{\partial \xi} \right)^2 \right\} + \\ + \frac{\partial}{\partial \xi} \left\{ u \left[ 2p + \frac{u^2 + v^2}{2V} + h^2 + \frac{1}{2} \beta^2 V \left( \frac{\partial h}{\partial \xi} \right)^2 - \frac{\alpha p}{2h} \frac{\partial}{\partial \xi} \left( v - \beta^2 V \frac{\partial h}{\partial \xi} \right) \right] + \right. \\ + \frac{\alpha p}{2h} \left( v - \beta^2 V \frac{\partial h}{\partial \xi} \right) \frac{\partial u}{\partial \xi} - \frac{\omega_{oi}^2}{4\pi\Omega_n\sigma} h \frac{\partial h}{\partial \xi} - \beta^2 h \left( \frac{\partial}{\partial \tau} + u \frac{\partial}{\partial \xi} \right) \left( V \frac{\partial h}{\partial \xi} \right) \left. \right\} &= 0 \\ \frac{\partial h}{\partial \tau} + \frac{\partial}{\partial \xi} (uh) - \beta^2 \frac{\partial}{\partial \xi} \left( \frac{\partial}{\partial \tau} + u \frac{\partial}{\partial \xi} \right) \left( V \frac{\partial h}{\partial \xi} \right) &= \frac{\omega_{oi}^2}{4\pi\Omega_n\sigma} \frac{\partial^2 h}{\partial \xi^2} \\ \xi = \frac{x\omega_{oi}}{c}, \quad h = \frac{H}{H_0}, \quad V \beta^2 = \frac{\rho_0}{\rho}, \quad \beta^2 = \frac{m_e}{m_i}, \quad \tau = \frac{V_A \omega_{oi}}{c} t \end{aligned}$$

Здесь скорости и давление нормированы на альфвеновскую скорость  $V_A$  и величину  $\rho_0 V_A^2$  соответственно, и для этих величин оставлены прежние обозначения.

**2. Стационарные движения.** Рассмотрим на основании системы уравнений (1.3) стационарные движения плазмы, для чего перейдем, как обычно, в систему координат, связанную с волной, движущейся с постоянной скоростью. В этой системе координат плазма движется в положительном направлении оси  $x$ . Для стационарных движений имеем уравнения

$$\begin{aligned} u &= jV \\ p + \frac{1}{2} h^2 + j^2 V - \frac{\alpha p}{2h} \frac{d}{d\xi} \left( v - \beta^2 V \frac{dh}{d\xi} \right) &= C_1 \\ uv + \frac{\alpha p V}{2h} \frac{du}{d\xi} &= 0 \\ u \left[ 2p + \frac{u^2 + v^2}{2V} + h^2 + \frac{1}{2} \beta^2 V \left( \frac{dh}{d\xi} \right)^2 - \frac{\alpha p}{2h} \frac{d}{d\xi} \left( v - \beta^2 V \frac{dh}{d\xi} \right) - \right. \\ - \beta^2 h \frac{d}{d\xi} \left( V \frac{dh}{d\xi} \right) \left. \right] + \frac{\alpha p}{2h} \left( v - \beta^2 V \frac{dh}{d\xi} \right) \frac{du}{d\xi} - \frac{\omega_{oi}^2}{4\pi\Omega_n\sigma} h \frac{dh}{d\xi} &= jC_2 \quad (2.1) \\ u \left[ h - \beta^2 \frac{d}{d\xi} \left( V \frac{dh}{d\xi} \right) \right] - \frac{\omega_{oi}^2}{4\pi\Omega_n\sigma} \frac{dh}{d\xi} &= j \\ j = \text{const}, \quad C_1 = p_0 + 1/2 + j^2, \quad C_2 = 2p_0 + 1/2j + 1 \end{aligned}$$

Здесь  $j$  — поток вещества.

Для удобства дальнейшего анализа преобразуем систему уравнений (2.1) к уравнениям, разрешенным относительно первых производных, чтобы получить поле направлений. Будем считать плазму достаточно горячей ( $8\pi p / H^2 \gg m_e / m_i$ ), что позволит пренебречь инерцией элект-

тронов. Тогда система уравнений (2.1) принимает вид

$$\begin{aligned} \frac{dV}{d\xi} &= -\frac{2h}{\alpha p} v \\ \kappa \frac{dh}{d\xi} &= Vh - 1 \quad \left( \kappa = \frac{\omega_{oi}^2}{4\pi\Omega_i\sigma_j} \right), \quad \frac{dv}{d\xi} = \frac{2h}{\alpha p} \left( p + \frac{1}{2}h^2 + j^2V - C_1 \right) \end{aligned} \quad (2.2)$$

$$p = V^{-1} \{ C_2 - h + \frac{1}{2}v^2 - (C_1 - \frac{1}{2}j^2V - \frac{1}{2}h^2)V \} \quad (2.3)$$

Равновесные состояния 1 (перед фронтом волны) и 2 (за фронтом волны) определяются особыми точками уравнений (2.2). Приравнявая нулю правые части этих уравнений, получим:

в невозмущенном состоянии (перед фронтом)

$$v = v_1 = 0, \quad V = V_1 = 1, \quad h = h_1 = 1 \quad (2.4)$$

в возмущенном состоянии (за фронтом)

$$v = v_2 = 0, \quad h = h_2 = V_2^{-1}, \quad V = V_2 = \frac{2(1 + 2p_0) + j^2}{3j^2} \quad (2.5)$$

Если  $j^2 < 1 + 2p_0$ , то  $V_2 > 1$ , и не существует волны, связывающей два различных состояния (такая волна должна была бы быть волной разрежения). В этом случае стационарным решением является уединенная волна, найденная в [1], которая соединяет два одинаковых состояния. Заметим, однако, что в [1] основное уравнение, описывающее стационарную волну, приведено для случая  $\gamma \neq 2$ , хотя при движениях бесстолкновительной плазмы поперек магнитного поля  $\gamma = 2$ , и поэтому нельзя непосредственно перейти от результатов работы [1] к интересующему нас случаю. При малых амплитудах нетрудно получить

$$\begin{aligned} h &= 1 - |\psi_{\max}| \operatorname{sch}^2 \left\{ \frac{s}{\alpha p_0} \sqrt{|\psi_{\max}|} (\xi - w\tau) \right\} \\ \psi &= h - 1 \ll 1, \quad w = s(1 - \frac{1}{2}|\psi_{\max}|), \quad s = \sqrt{1 + 2p_0} \end{aligned} \quad (2.6)$$

где  $w$  — скорость уединенной волны. Уединенная волна является волной разрежения, и ее скорость меньше скорости звука. Если  $j^2 > 1 + 2p_0$  (скорость волны больше скорости звука  $s$ ), то  $V_2 < 1$ , и имеет место ударная волна, которая соединяет два поступательных потока плазмы с различными значениями параметров и распространяется без изменения своего профиля с некоторой постоянной скоростью. В дальнейшем уделим основное внимание структуре ударной волны, т. е. случаю  $j > 1 + 2p_0$ .

Исследуем особые точки системы уравнений (2.2). Для этого линеаризуем уравнения (2.2) вблизи особых точек, считая отклонения всех величин от значений (2.4), (2.5) малыми, т. е. полагаем

$$V = V_{1,2} (1 + \varphi), \quad h = h_{1,2} (1 + \psi) \quad (2.7)$$

где  $\psi, \varphi \ll 1$ . Оставляя величины первого порядка малости, получим

$$\begin{aligned} \frac{d\varphi}{d\xi} &= -\frac{2h_{1,2}}{\alpha A_1 V_{1,2}} v, \quad \kappa h_{1,2} \frac{d\psi}{d\xi} = \varphi + \psi \\ \frac{dv}{d\xi} &= \frac{2h_{1,2}}{\alpha A_1} [(j^2 V_{1,2} - A_2)\varphi + h_{1,2}^2 \psi] \end{aligned} \quad (2.8)$$

$$\begin{aligned} A_1 &= h_{1,2} [C_2 - h_{1,2} - (C_1 - j^2 V_{1,2} - \frac{1}{2}h_{1,2}^2) V_{1,2}] \\ A_2 &= h_{1,2} (C_2 - h_{1,2} - \frac{1}{2}j^2 V_{1,2}^2) \end{aligned} \quad (2.9)$$

Предполагая зависимость  $\varphi, \psi, v \sim \exp(\mu \xi)$ , получим характеристическое уравнение

$$\kappa h_{1,2} \mu^3 - \mu^2 + \left( \frac{2h_{1,2}}{\alpha A_1} \right)^2 \frac{j^2 V_{1,2} - A_2}{V_{1,2}} \kappa h_{1,2} \mu - \left( \frac{2h_{1,2}}{\alpha A_1} \right)^2 h_{1,2} (j^2 V_{1,2} - A_2 - h_{1,2}^2) = 0 \quad (2.10)$$

Проводимость плазмы считается достаточно большой, поэтому корни уравнения (2.10) можно искать в виде ряда по степеням  $\kappa$ , т. е.

$$\mu = \mu^{(0)} + \kappa \mu^{(1)} + \dots \quad (2.11)$$

Подставляя (2.11) в (2.10), найдем корни характеристического уравнения

$$\mu = \pm \frac{2h_{1,2}}{\alpha A_1} \left( \frac{h_{1,2}^2 + A_2 - j^2 V_{1,2}}{V_{1,2}} \right)^{1/2} + \frac{2\kappa}{(\alpha A_1 V_{1,2}^3)^2} \quad (2.12)$$

Третий корень равен

$$\mu = \frac{1}{\kappa h_{1,2}} - \frac{4\kappa}{(\alpha A_1 V_{1,2}^3)^2} \gg 1 \quad (2.13)$$

Для возмущенного состояния корни характеристического уравнения вещественны, различны и два из них имеют разный знак; поэтому особая точка, соответствующая возмущенному состоянию, является обобщенным седлом (см. [3]), и интегральная кривая при достаточно больших положительных  $\xi$  входит в особую точку  $V = V_2, h = h_2, v = 0$ . Для невозмущенного состояния корни (2.12) равны

$$\mu = \pm i \frac{2}{\alpha p_0} \sqrt{j^2 - 1 - 2p_0} + \frac{2\kappa}{(\alpha p_0)^2} \quad (2.14)$$

Вещественные части корней отличны от нуля и имеют одинаковый знак. Поэтому при отрицательных  $\xi$  особая точка  $V = h = 1, v = 0$ , соответствующая невозмущенному состоянию плазмы перед ударной волной, является обобщенным узлом, и интегральные кривые асимптотически приближаются к рассматриваемой особой точке, «закручиваясь» вокруг нее.

Если перейти к случаю идеальной плазмы ( $\sigma = \infty, \kappa = 0$ ), то корни характеристического уравнения для невозмущенного состояния будут чисто мнимыми

$$\mu = \pm i \frac{2}{\alpha p_0} \sqrt{j^2 - 1 - 2p_0}$$

Как следует из теории дифференциальных уравнений [3], особая точка при наличии мнимых корней может быть как центром (интегральные кривые являются замкнутыми кривыми, окружающими особую точку и не проходящими через нее), так и фокусом (интегральные кривые «закручиваются» вокруг особой точки, приближаясь к ней асимптотически). Для выяснения типа особой точки в этом случае нужно учесть члены следующего порядка малости, которые нами при получении системы (2.8) были отброшены. Тогда нужные нам уравнения (для идеальной плазмы) можно записать в виде

$$\frac{1}{2} \alpha p_0 \frac{d\varphi}{d\xi} = -v, \quad \frac{1}{2} \alpha p_0 \frac{dv}{d\xi} = (j^2 - 1 - 2p_0) \varphi + f(\varphi^2, \varphi^3, \dots, v^2) \quad (2.15)$$

где функция  $f$  содержит члены порядка  $\varphi^2, \varphi^3, \dots$ , и  $v^2$ . Уравнения

(2.15) симметричны относительно оси  $\varphi$  (или  $V$ ), т. е. они инвариантны относительно преобразования  $\xi \rightarrow -\xi$ ,  $v \rightarrow -v$ . Поэтому, согласно теореме Пуанкаре [3], особая точка  $V = 1$  ( $\varphi = 0$ ),  $v = 0$ , соответствующая невозмущенному состоянию идеальной плазмы, является центром. Отсюда следует, что в случае плазмы с бесконечной проводимостью интегральная кривая, вышедшая из особой точки, соответствующей возмущенному состоянию, никогда не достигает особой точки, соответствующей невозмущенному состоянию. В идеальной плазме имеется, таким образом, бесконечный цуг незатухающих периодических волн; такую структуру, естественно, нельзя назвать ударной волной, как это сделано в [2].

Если  $\sigma \neq \infty$  ( $\kappa \neq 0$ ), то амплитуда периодических волн будет затухать по мере продвижения в сторону невозмущенной плазмы (при  $\xi \rightarrow -\infty$ ). Такая структура является ударной волной, соединяющей два различных состояния, причем область ударного перехода (точнее — передний фронт) имеет осцилляционную структуру, так что качественно ударная волна в горячей плазме похожа на ударную волну в бесстолкновительной холодной плазме, распространяющуюся под углом к магнитному полю, что отмечается в [1].

Рассмотрим структуру ударной волны вблизи равновесных состояний  $V = h = 1$ ,  $v = 0$  и  $V = V_2$ ,  $h = V_2^{-1}$ ,  $v = 0$  на основании линеаризованной системы (2.8). Вблизи невозмущенного состояния профиль ударной волны начинается с малых осцилляций, амплитуда которых постепенно нарастает. Для этой части профиля (при  $\xi < 0$ ) можно написать

$$\begin{aligned} h(\xi) &= 1 + Ce^{\delta\xi} \cos k\xi \\ V(\xi) &= 1 + C \frac{(\kappa\delta - 1) \cos k\xi + \kappa k \sin k\xi}{(\kappa\delta - 1)^2 + \kappa^2 k^2} e^{\delta\xi} \\ v(\xi) &= -\frac{1}{2}\alpha p_0 C (\delta \cos k\xi - k \sin k\xi) e^{\delta\xi} \\ C = \text{const}, \quad \delta &= \frac{2\kappa}{(\alpha p_0)^2}, \quad \lambda = \frac{2\pi}{k} = \frac{\pi \alpha p_0}{\sqrt{j^2 - 1 - 2p_0}} \end{aligned} \quad (2.16)$$

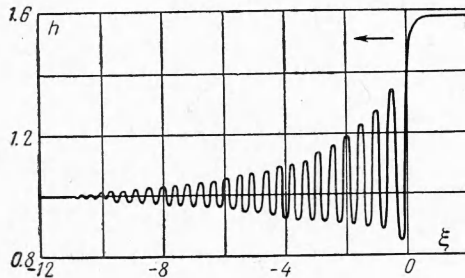
Здесь  $\delta$  — инкремент нарастания амплитуды осцилляций,  $\lambda$  — длина волны осцилляций. Отсюда видно, что при увеличении невозмущенного давления затухание существенно проявляется на большей длине и линейный размер осцилляций возрастает. Заметим, что величина затухания определяется лишь проводимостью и давлением и не зависит от скорости ударной волны, в то время как размер осцилляций существенно зависит от скорости ударной волны, будучи при  $j^2 \gg 1 + 2p_0$  обратно пропорциональным этой скорости. Вблизи равновесного возмущенного состояния (при  $\xi > 0$ ) профиль ударной волны описывается формулами

$$\begin{aligned} V(\xi) &= V_2 \{1 + C(1 - \mu h_2) e^{\mu\xi}\}, & h(\xi) &= h_2 (1 - C e^{\mu\xi}) \\ v(\xi) &= -\frac{\alpha A_1}{2h_2} C \mu V_2 (1 - \mu h_2) e^{\mu\xi} \end{aligned} \quad (2.17)$$

Здесь  $C > 0$  — произвольная постоянная,  $A_1$  определяется выражением (2.9), а  $\mu$  — выражением (2.12) со знаком минус при первом члене.

Полная структура ударной волны произвольной силы может быть найдена решением системы уравнений (2.2). Эта система была решена численно, причем в качестве начальных условий выбирались значения удельного объема  $V$ , магнитного поля  $h$  и поперечной скорости  $v$ , вычисленные по формулам (2.17) при некотором достаточно большом положительном  $\xi = \xi_0$ . Таким образом, решение системы (2.2) проводилось от точки  $\xi_0$ , близкой к равновесному возмущенному состоянию, до точки

$\xi = \xi_{\max}$ , где амплитуды искомых функций приближались достаточно близко к значениям, соответствующим невозмущенному равновесному состоянию. На фигуре в качестве примера приведен профиль ударной волны для следующих значений параметров:  $p_0 = 0.4$ ,  $j = 2$ ,  $\alpha = 0.5$ .



В этом случае полная длина области ударного перехода составляет примерно  $10 c / \omega_{0i}$ . С ростом невозмущенного давления ионов эта область растягивается и линейный размер осцилляций увеличивается.

**3. Нестационарные волны.** Теперь рассмотрим нестационарные волны конечной, но малой амплитуды, распространяющиеся в горячей идеальной плазме поперек магнитного поля. Для слабых волн, полагая  $V = 1 + \varphi$ ,  $h = 1 + \psi$  ( $\varphi, \psi \ll 1$ ) и удерживая в уравнениях (1.3) члены до второго порядка малости включительно по отклонениям от невозмущенных значений аналогично тому, как это сделано в [4] для волн в холодной плазме, получим уравнение

$$\frac{\partial \psi}{\partial \tau} + s \frac{\partial \psi}{\partial \xi} + \frac{3}{2} s \psi \frac{\partial \psi}{\partial \xi} + \frac{1}{2s} \left[ \beta^2 - \left( \frac{\alpha p_0}{2} \right)^2 \right] \frac{\partial^3 \psi}{\partial \xi^3} = 0 \quad (3.1)$$

Если перейти к случаю холодной плазмы ( $p_0 \rightarrow 0$ ), то  $s \rightarrow 1$  и уравнение (3.1) с точностью до обозначений будет совпадать с уравнением (2.34) работы [4]. При помощи замены переменных

$$\eta = \left( \frac{2s}{v} \right)^{1/3} (\xi - s\tau), \quad v = \beta^2 - \left( \frac{\alpha p_0}{2} \right)^2, \quad f = 3 \left( \frac{s^4}{4v} \right)^{1/3} \psi \quad (3.2)$$

уравнение (3.1) приводится к виду

$$\frac{\partial f}{\partial \tau} + f \frac{\partial f}{\partial \eta} + \frac{\partial^3 f}{\partial \eta^3} = 0 \quad (3.3)$$

Для этого уравнения в [4] было найдено решение, дающее асимптотическое поведение волн конечной, но малой амплитуды, которые возбуждаются «магнитным поршнем», действовавшим на границе плазма — вакуум в течение ограниченного промежутка времени. Такое же решение имеет место и для волн в горячей плазме. Если пренебречь инерцией электронов, то на рассматриваемый случай переносятся формулы, полученные в [4] для волн, распространяющихся в холодной плазме под углом  $\theta$  к магнитному полю, причем роль характерного линейного масштаба волн будет играть величина  $(c / \omega_{0i}) (2\alpha p_0 / H_0^2)$  вместо  $c\theta / \omega_{0i}$ .

В заключение автор благодарит Р. З. Сагдеева и Н. Н. Яненко — за обсуждение работы, а также Р. Н. Макарову — за помощь в численных расчетах.

Поступила 15 VI 1965

#### ЛИТЕРАТУРА

1. Захаров В. Е. Стационарные нелинейные волны в плазме конечной температуры. ПМТФ, 1964, № 6.
2. Патарая А. Д. Структура слабых ударных волн с учетом ларморовского радиуса иона. Ж. техн. физ., 1965, т. 35, № 2.
3. Немыцкий В. В., Степанов В. В. Качественная теория дифференциальных уравнений. Гостехиздат, 1949.
4. Березин Ю. А., Карпман В. И. К теории нестационарных волн конечной амплитуды в разреженной плазме. Ж. эксперим. и теор. физ., 1964, т. 46, № 5.